室内試験によるバリア井戸設置位置と水位差変動が塩水侵入挙動に及ぼす影響評価

九州大学工学部 学生会員 陶山浩矢九州大学工学部技術部 非会員 大石秀人九州大学大学院工学研究院 正会員 広城吉成

1.背景と目的

近年の地球温暖化による海面上昇や地下水揚水量の 増加による地下水位の減少に伴い、沿岸部帯水層では 地下水への塩水侵入が進行すると懸念されている。こ れによって、沿岸部地下水利用においては、水質悪化 や揚水可能量の減少が問題となり、地下水塩水化対策 が必要とされている。対策の1つとして、沿岸部井戸 での塩水の揚水による塩水侵入阻止案が挙げられる が、バリア井戸の最適設置位置の検討や水位差変動に 伴うバリア井戸の性能検討が十分なされていない。

そこで、本研究では、バリア井戸の設置位置及び水位差変動が塩水侵入挙動にどのような影響を及ぼすのか室内実験により観察し、バリア井戸の有効・効率的な設置位置を検討することを目的とした。

2.実験概要

2-1.実験装置

図1に実験装置を示す。浸透槽を長さ100cm,高さ 40cm、幅 10cm とし、直径 0.71~1.00mm のガラスビ ーズで層厚約 32cm になるよう充填した。浸透層の両 側には、塩水または淡水を定水位で供給する貯留槽を 設置し、浸透層の動水勾配を設定できるようにした。 さらに、浸透槽の左下端から右に 50cm、高さ 15cm の 位置に井戸 A を、右に 75cm、高さ 15cm の位置に井戸 B を、右に 90cm、高さ 5cm の位置に井戸 C をそれぞ れ設置し、選択的に取水できるようにバルブを設けて いる。なお、実験装置には、左下端から右に 90cm、 高さ 15cm の位置と高さ 25cm の位置にも井戸を設置し ているが、実験1及び2には使用していないため名称 を付けていない。塩水は密度を 1.025~1.027g/cm3 程度 に調整し、食紅によって着色したものを使用した。浸 透層の間隙率 38.4%、透水係数 0.400cm/s は事前に計 測した。また、塩水槽と浸透槽の間には取り外し可能 な仕切り版を挿入している。

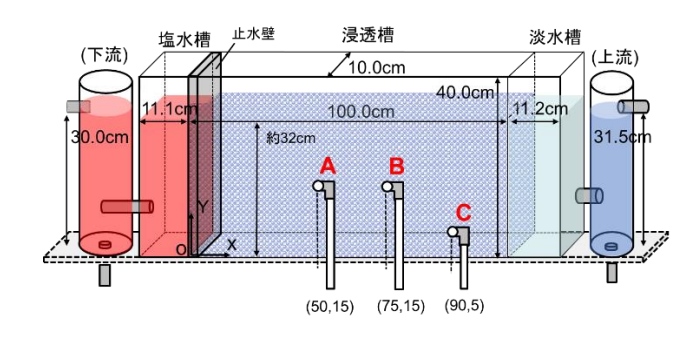


図1. 実験装置

2-2.実験手順

2-2-1.実験1

実験1ではバリア井戸設置位置の違いによる塩水侵入の挙動を確認した。井戸Aと井戸Bをバリア井戸、井戸Cを生産井と想定して行った。ステップ1では、井戸Cでの取水を開始後、仕切り版を除去し、井戸Cに塩水を侵入させた。ステップ2では井戸Aでの取水を開始し、井戸Aの取水量の違いによる生産井Cへの塩水侵入の有無を確認した。ステップ3では井戸Aでの取水を停止し、再びステップ1の定常状態に戻した後、井戸Bでの取水を開始し、井戸Bの取水量の違いによる井戸Cへの塩水侵入の有無を確認した。なお、淡水水位31.5cm、塩水水位30.0cmに固定して実験を行った。

2-2-1.実験 2

実験 2 では、淡水水位の高さを調整することで淡水位を 31.5cm、31.0cm、30.5cm に調節し、水位差が変化した状況をそれぞれ再現した。井戸 A をバリア井戸、井戸 B を生産井と想定して行った。実験 2 は 5 つのステップで構成されており、各ステップにおいて定常状態に到達したら、連続して次のステップを行い、ステップ 5 が終了した時点で一回の実験を終了とした。ステップ1 では、仕切り版を除去し、塩水および淡水の密度差による塩水侵入過程を観察した。ステップ2 では、井戸 A での取水を行い、塩水侵入の形や侵入の速度を観察した。ステップ3 では、井戸 A 及び B 取水下での塩

水侵入の挙動を観察した。ステップ 4 は、井戸 B のみ取水を停止したステップ 2 への後退過程、ステップ 5 は井戸 A および B での取水を停止したステップ 1 への後退過程である。なお、バリア井戸 A 取水量は $3.1 \mathrm{cm}^3/\mathrm{s}$ 、生産井 B 取水量は $5.0 \mathrm{cm}^3/\mathrm{s}$ に固定して実験を行った。

3.結果と考察

3-1.実験 1

表 1 に C 取水量 9.5cm³/s 時のステップ 2 の結果を示す。バリア井戸 A 取水量 2.9cm³/s 以下では生産井 C へ塩水侵入を観測できたが、3.0cm³/s 時には塩水侵入を観測できなかった。バリア井戸 A において、生産井の 0.32 倍以上の取水を行うことで塩水侵入を防ぐことができると確認された。

表 2 に C 取水量 9.5cm³/s 時のステップ 3 の結果を示す。バリア井戸 B 取水量 6.2cm³/s 以下では生産井 C へ塩水侵入を観測した。バリア井戸 B において、生産井の 0.65 倍の取水を行っても、塩水侵入を防ぐことはできなかった。

実験 1 の結果より、バリア井戸 A とバリア井戸 B の 生産井 C への塩水侵入阻止効果を、取水量の観点から 比較すると、バリア井戸 A の効果の方が大きいことが 分かる。

表 1. バリア井戸 A 取水量と塩水侵入

A取水量(cm³/s)	2.0	2.2	2.9	3.0
Cに対するA取水量比	0.21	0.23	0.30	0.32
Cへの塩水侵入	あり	あり	あり	なし

表 2. バリア井戸 B 取水量と塩水侵入

B取水量(cm³/s)	2.4	2.8	4.6	6.0	6.2
Cに対するB取水量比	0.26	0.30	0.49	0.63	0.65
Cへの塩水侵入	あり	あり	あり	あり	あり

3-2.実験 2

表 3 にステップ 1~3 での塩水侵入長の結果を示す。 塩水侵入長は浸透層の左下端から、塩水侵入の右下端 までの水平距離である。淡水水位 30.5cm であるステッ プ 1 の侵入長は、100cm を超えたため測定できなかっ た。表より、淡水水位が減少するほど塩水侵入長が大き くなることが分かる。また、淡水水位が 30.5cm の場合、 ステップ 3 で生産井 B への塩水侵入が起きた。よって、 塩水水位と淡水水位の水位差が減少すれば、塩水侵入 長が増加し、生産井 B への塩水侵入を引き起こすこと が分かる。 また、ステップ 2 における侵入長に注目すると、淡水 水位 30.5cm の場合を除いて、ステップ 1 での侵入長か ら増加している。この結果から、ステップ 1 での塩水侵 入長によっては、バリア井戸が塩水侵入を増加させて しまうことがあることが分かる。

表 3. 淡水水位と塩水侵入長

淡水水位(cm)	31.5	31.0	30.5
Step1(cm)	29.6	52.3	
Step2(cm)	56.6	60.1	73.5
Step3(cm)	64.7	68.9	77.0
Bへの塩水侵入	なし	なし	あり

4.結論

本研究では、沿岸部の帯水層におけるバリア井戸での揚水を想定した室内試験を行い、バリア井戸の位置や取水条件による生産井への塩水侵入挙動の変化を観察した結果と水位差変動による塩水侵入と後退の挙動の変化を観察した結果をまとめた。実験 1 の結果を踏まえると、バリア井戸 A の方がバリア井戸 B より塩水侵入を阻止する効果が大きいことが、取水量の観点から分かった。また、実験 2 の結果から、塩水侵入長によって、バリア井戸の塩水侵入阻止効果が変化するが分かった。以上のことから、帯水層におけるバリア井戸は、塩水侵入を増加させない塩水槽側の設置が望ましいと考えられる。

今回の実験では、バリア井戸の設置位置を帯水層の 淡水槽側に集中しまったことや設置数が少なかったこ とが原因で、生産井への塩水侵入を防ぐ効率的なバリ ア井戸設置位置を特定するという目的が果たされたと は言い難い。しかし、実験結果から、確かにバリア井戸 設置位置によって生産井への塩水侵入阻止効果が変化 することが分かった。

今後の展望として、井戸の設置位置を増加させることによって、実験的に生産井での取水が塩水化しない生産井とバリア井戸の最も有効・効率的な位置関係を特定すると同時に、数理シミュレーションを行い、その妥当性を確認したい。

実験 1 及び実験 2 に関する写真を用いた詳しい考察 は西部支部発表時に公表する予定である。